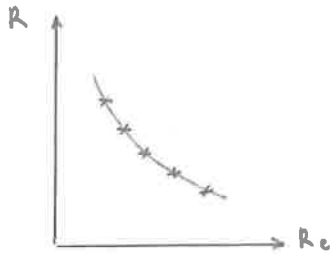


6. BOYUTSAL GÖZÜMLEME VE BENZERLİK

6.1. Boyutsal Görüntüleme (Boyut Analizi)

Boyutsal görüntüleme, akışkanlar mekaniği problemlerinin çözümünde kullanılan en önemli matematiksel analizlerden birisidir. Bu yöntemin en önemli özelligidir ki boyutlu değişkenleri boyutsuz gruplar halinde toplayarak sayısını azaltmasıdır. Körneci olayların ve özellikle türbülanslı akış problemlerinin (pompa ve turbin içerisindeki akış gibi) büyük bir doğruluğu bilinen matematiksel yöntemlerle çözülebilecektir. Bunun sebebi genellikle hanehet denklemlerindeki değişken sayılarının çokluğuudur. Bu nedenle probleme yer alan boyutsuz değişkenler farklı yöntemlerle grplandırılarak hem değişken sayısı azaltılmış olur hende problemi temsil eden bazı özel boyutsuz sayılar elde edilir. Örnek olana, bir bari akışında baruya etki eden sürütme dimesi " $R = f(g, C, D, \mu)$ " gibi dört bağımsız değişkeni sahip olsun. Dimesi belirlemeye yönelik deneylerde her bir bağımsız değişkenin 10 defa değiştiğine varsayılarsa 10^4 adet deney yapmak gerekecektir. Bunun yerine boyutsal görüntüleme (boyut analizi) yapılırsa sürütme dimesi " $R = f\left(\frac{g \cdot C \cdot D}{\mu}\right) = f(Re)$ " formuna indirgenir. Bu durumda 10 adet deney yapılması yeterli olacaktır.



Boyutsal görüntülemenin önemli olduğu iki durum aşağıda verilmektedir,

- Deneyel Çalışmalar:** Deney sayısının azaltılması ve probleme etki eden boyutsuz sayıların belirlenmesi
- Model Deneyler:** Boyutsal görüntüleme sonuçları kullanılarak gerçek yapılandaki körneci olaylarda ilgili problemin belirli ortamlarda hizmettilmiş modeli üzerinde deneyler yapılabilir.

Akım makinalarında özellike pompa ve turbinlerde model deneyleri ve boyutsal görüntümeye tercih edilen araçlardır. Örneğin bir pompa için basma yükseliğe etki eden boyutsuz sayıları belirlemeye çalışalım.

$$\text{Basma yükseliği, } H_m \Rightarrow H = \frac{V}{g} \text{ şeklinde ifade edilir.}$$

Mesake me ivmesi, enlem anısı ve deniz seviyelerinden olan yükseltelijye bağlı olarak değiştiğinden basma yükseltelijye yerine örgüt enerji tanımını kullanmak daha uygun olacaktır. Bir hidrolik akım makinasında örgüt enerjisi

$$\gamma = g \cdot H = f(Q, n, D, g, \mu, k, \varepsilon)$$

seklindedir, debi, devir sayısı, yap, yoğunluk, dinamik viskozite, Bulk Modülü ve mutlak presürlülüğü bağlı olduğu takdirde edilebilir. Akışkanlar Mekanizjisinden bilinen Π teoremine göre $g \cdot H = Q^a \cdot n^b \cdot D^c \cdot g^d \cdot \mu^e \cdot k^f \cdot \varepsilon^g$ (*) formunda yazılabilir. Bu ilişkimin sağlanabilmesi için eşitliğin sol ve sağ tarafların birimlerin eşit olması gereklidir. Tüm terimlerin birini temel mekanik birimler cinsinden yazılır ve ilkipleri düzenlenirse,

Temel Birimler

$$\begin{aligned} \rightarrow l(m) &: [L] uzunluk \\ \rightarrow m(kg) &: [M] kütte \\ \rightarrow t(s) &: [T] zaman \end{aligned}$$

Tüm Elitlerden Basıları

$$\begin{aligned} \rightarrow \mu [\text{kg/m.s}] &: [M/L \cdot T] \\ \rightarrow K [\text{kg/m.s}^2] &: [M/L T^{-2}] \\ \rightarrow \varepsilon [m] &: [L] \\ \rightarrow g \cdot H [m^2/s^2] &: [L^2/T^2] \end{aligned}$$

(*) eşitliğine tâsiması;

$$[L]^2 \cdot [T]^{-2} = [L]^{3a} \cdot [T]^{-a} \cdot [T]^{-b} \cdot [L]^c \cdot [M]^d \cdot [L]^{-3d} \cdot [M]^e \cdot [L]^{-e} \cdot [T]^{-e} \\ \cdot [M]^f \cdot [L]^{-f} \cdot [T]^{-2f} \cdot [L]^g$$

$$[L]'ler için \rightarrow 2 = 3a + c - 3d - e - f + g$$

$$[T]'ler için \rightarrow -2 = -a - b - e - 2f$$

$$[M]'ler için \rightarrow 0 = d + e + f$$

$$7 - 3 = 4 tane boyutsuz sayı$$

Bu denklem takımlarından yararlanarak sağlanabilecek olan üç bilinmeyen, diğer bilinmeyenler cinsinden ifade edilebilir. Bu amanla b, c, d bilinmeyenleri a, e, f, g cinsinden yazılırsa;

$$d = -e - f$$

$$b = 2 - a - e - 2f$$

$$c = 2 - 3a - 2e - 2f - g$$

elde edilir.

Bulunan yeni üslüler (*) ifadesine taktimesaj;

$$g \cdot H = Q^a \cdot n^{2-a-e-2f} \cdot D^{2-3a-2f-g} \cdot g^{-e-f} \cdot \mu^e \cdot K_f \cdot \varepsilon^g$$

$$g \cdot H = n^2 \cdot D^2 \cdot \left(\frac{Q}{n \cdot D^3} \right)^a \cdot \left(\frac{\mu}{n \cdot D^2 \cdot g} \right)^e \cdot \left(\frac{K}{n^2 \cdot D^2 \cdot g} \right)^f \cdot \left(\frac{\varepsilon}{D} \right)^g$$

$$\frac{g \cdot H}{n^2 \cdot D^2} = f \left[\frac{Q}{n \cdot D^3}, \frac{\mu}{n \cdot D^2 \cdot g}, \frac{K}{n^2 \cdot D^2 \cdot g}, \frac{\varepsilon}{D} \right]$$

elde edilir. Yukarıdaki denklükte yer alan bütün terimlerin boyutsuz olduğu görülür. Denklükte yer alan her bir boyutsuz terim

$$\rightarrow K_H = \frac{g \cdot H}{n^2 \cdot D^2} : \text{Düzen veya basma yükseliği katsayısi}$$

$$\rightarrow K_Q = \frac{Q}{n \cdot D^3} : \text{Debi katsayısi}$$

$$\rightarrow \frac{\mu (= \rho \cdot g)}{n \cdot D^2 \cdot g} = \frac{J}{n \cdot D \cdot D} = \frac{J}{C \cdot D} = \frac{1}{Re} : \text{Reynolds sayısı} \quad [n \cdot D = C]$$

$$\rightarrow \frac{K}{n^2 \cdot D^2 \cdot g} \sim \frac{1}{Ma} : \text{Mach sayısı}$$

$$\rightarrow \frac{\varepsilon}{D} : \text{Bağlı pürüzlülük}$$

formunda tanımlanabilir. Yeni boyutsuz katsayılar cinsinden özgül enerji iün fonksiyonel ilişkisi;

$$K_H = f \left[K_Q, Re, Ma, \frac{\varepsilon}{D} \right]$$

Benzer işlemleri yapılarak diğer boyutsuz katsayılarla benzer şekilde gün katsayısi ve verim sırasıyla;

$$K_p = \frac{P}{g \cdot n^3 \cdot D^5} \sim K_Q \cdot K_H : \text{Gün katsayısi}$$

$$\eta = \frac{K_H \cdot K_Q}{K_p} : \text{Verim}$$

formunda elde edilir. Böylece her bir akım makinası iün K_H, K_p ve η değerleri K_Q'ya bağlı olarak eğriler formunda dürenlenebilir.

6.2. Benzerlik Esasları

Hidrolik akım makinalarının (türbin ve bari pompalar) büyük ölçüde olmasından dolayı tam ölçüli makinanın yerine bu makinaların belirli oranlarında kurgullanmış modelleri üzerinde deneyler yapılarak ana makina hakkında bilgi sağlanır. Tam bir benzerlik için;

- Karşılıklı makinaların bütün ölçüt ve boyutlarının "geometrik benzer" olması.
- Makinelerin kanallarında ve özellikle dönel park kanallarındaki akışta "kinematik benzerimin" sağlanması gerekmektedir. Kisaca her iki makinanın hız ünitesinin benzerliği sağlanmalıdır.
- Makinaya gelen dış kuvvet taktıma ve sürükme kuvvetlerinin benzerini ise "dinamik benzerim" olarak adlandırılır.

Genel olarak hidrolik akım makinalarında Re sayısı dinamik benzerim parametresi olarak tanımlanır. Benzerlik yasalarının uygulanabilmesi, yukarıda elde edilen boyutsuz sayıların ana makine ve model iki eşit olmasını gerektirler. Uygulamanın türüne bağlı olarak bu boyutsuz sayıların basınlarının (Re, Ma ve E/D) etkili mertebeleri ortadan kalkabilir. Bunlar;

a) Reynolds Sayısı

$Re = \frac{\rho D^2 g}{\mu} = \frac{\rho D^2}{\nu}$ formunda tanımlanır. Çapları D_1 ve D_2 olan geometrik benzer makinalarda ρD^2 'ler her zaman aynı olmamayılsın örneğin, $20^\circ C$ sıcaklığında suyun seviyeleri dikkate alınırsa, ($\nu = 1,054 \times 10^{-6} \text{ m}^2/\text{s}$)

$$\left. \begin{array}{l} n_1 = 750 \text{ d/dk} \\ D_1 = 0.5 \text{ m} \end{array} \right\} Re_{1,1} = 2,965 \times 10^6 \quad \left. \begin{array}{l} n_2 = 1450 \text{ d/dk} \\ D_2 = 0.35 \text{ m} \end{array} \right\} Re_{1,2} = 2,82 \times 10^6$$

olarak elde edilir. Dikkat edilecek olursa Re sayısının her ikisi uygulama içinde 10^6 mertebelarında olduğu ve akışın türbülent rejimde olduğu görülmektedir. Bu durumda Re sayısının biraz değişmesinin sürükme davranışını pek fazla etkilemeyeceği söyleyebilir. Re sayısının etkisi göz ardı edilebilir.

b) Mach Sayısı

$$Ma = \frac{n^2 D^2 S}{K} > 0,3$$

Devir sayısı ve gap boyutu değerler olduğunda Ma sayısının nasıl bulugeceği ve sıkıştırılabilirlik etkisinin önemi düzeye ulaşacağı bağntıda görülebilir. Bu durum özellikle yüksek hızlı ve büyük çaplı fanlarda meydana gelir. Sıkıştırılmaz akışkanlarda Mach sayısının etkisi göz ardı edilemezdir.

$$K = -\frac{dp}{dv} \begin{cases} \text{Gas} > 0,3 \text{ Ma} \\ \text{Sivi} < 0,3 \text{ Ma} \end{cases}$$

c) Bağlı Pürüzülük

Aynı teknoloji ile üretilen bir fabrikada büyük ve küçük çaplı makinaların üretildiğindi düşüncesel aynı terzaklarda üretim yapılacağına göre mutlak pürüzülüklerin her iki makine için de aynı olacağını söyleyebiliriz. Buna karşın bağıl pürüzülük küçük makinalarda büyük makinaya kıyasla daha yükselt olacaktır.

d) Boşluklar ve Kalınlıklar

Pürüzülüğe benzer şekilde bir fabrikada benzeri toleranslar, boşluklar, yatak zarfı ve kaptama kalınlıkları kullanılır. Bunun sonucunda küçük makinalarda boşluk ve kalınlık etkileri büyük makinaya kıyasla daha azdır.

Yukarıda tanımlanan son iki etki genellikle alındığında geometrik benzer makinalarda gap arttıkça verim artacağı söyleyebilir.

6.3. Benzerlik Kanunlarının Pompa ve Turbinlere Uygulanması

Bir akım makinasında belli bir devir sayısında K_Q , K_H ve K_P değerleri bilinsin. Bu makinanın geometrik benzeri diğer bir makinanın K_Q , K_H ve K_P değerleri benzerlik kuralları kullanılarak rahatlıkla belirlenebilir.

i) $D = \text{sabit}$ $n_1 \rightarrow Q_1, H_1, P_1, \eta_1$ belli olsun,
 $n_2 \rightarrow Q_2, H_2, P_2, \eta_2$ belirlenebilir.

ii) $n = \text{sabit}$ $D_1 \rightarrow Q_1, H_1, P_1, \eta_1$ belli olsun,
 $D_2 \rightarrow Q_2, H_2, P_2, \eta_2$ belirlenebilir.

n_1 devrinde Q_1 debisinde γ_1, H_1, P_1 değerleri bilinsin. Aynı pompa ($D = \text{sabit}$) n_2 devrinde gerekken Q_2, H_2, γ_2 ve P_2 değerlerini bulmak isteyelim. Benzerlik kanunlarına göre K_Q, K_H, K_P ve γ geometrik benzer makinalarda eşit olacağınıza şudan:

$$\rightarrow K_Q = \frac{Q}{n \cdot D^3} = \text{sabit} \Rightarrow \frac{Q_1}{n_1 D_1^3} = \frac{Q_2}{n_2 D_2^3} \Rightarrow Q_2 = \left(\frac{n_2}{n_1}\right) \cdot Q_1$$

$$\rightarrow K_H = \frac{g \cdot H}{n^2 D^2} = \text{sabit} \Rightarrow \frac{g \cdot H_1}{n_1^2 D_1^2} = \frac{g \cdot H_2}{n_2^2 D_2^2} \Rightarrow H_2 = \left(\frac{n_2}{n_1}\right)^2 \cdot H_1$$

$$\rightarrow K_P = \frac{P}{g n^3 D^5} = \text{sabit} \Rightarrow \frac{P_1}{g \cdot n_1^3 D_1^5} = \frac{P_2}{g \cdot n_2^3 D_2^5} \Rightarrow P_2 = \left(\frac{n_2}{n_1}\right)^3 \cdot P_1$$

$$\rightarrow \gamma = \frac{K_Q \cdot K_H}{K_P} \rightarrow \gamma_2 = \gamma_1$$

ÖRNEK 6.1. Gark çapı 0,5 m olan bir pompanın 750 d/dk'daki sonuçlarından aşağıdaki performans karakteristiklerini elde edilmiştir.

| | | | | | | |
|--------------|----|------|------|------|----|------|
| $Q (m^3/dk)$ | 0 | 7 | 14 | 21 | 28 | 35 |
| $H_m (m)$ | 40 | 40,6 | 40,4 | 39,3 | 38 | 33,6 |
| $\eta (\%)$ | 0 | 41 | 60 | 74 | 83 | 83 |

Buna göre 0,35 m çapındaki geometrik benzer pompanın 1450 d/dk'daki performans karakteristiklerini belirleyiniz.

Benzerlik kanunlarına göre,

$$\rightarrow K_Q = \frac{Q}{n D^3} = \text{sabit} \Rightarrow \frac{Q_1}{n_1 D_1^3} = \frac{Q_2}{n_2 D_2^3} \Rightarrow Q_2 = Q_1 \cdot \frac{n_2}{n_1} \left(\frac{D_2}{D_1}\right)^3$$

$$Q_2 = Q_1 \cdot \frac{1450}{750} \left(\frac{0,35}{0,5}\right)^3 \Rightarrow Q_2 = 0,633 Q_1$$

$$\rightarrow K_H = \frac{g \cdot H}{n^2 D^2} = \text{Sabit} \Rightarrow \frac{g \cdot H_1}{n_1^2 D_1^2} = \frac{g \cdot H_2}{n_2^2 D_2^2} \Rightarrow H_2 = H_1 \left(\frac{n_2}{n_1} \right)^2 \cdot \left(\frac{D_2}{D_1} \right)^2$$

$$\Rightarrow H_2 = 1.831 H_1$$

$$\eta = \frac{K_H \cdot K_H}{K_P} \Rightarrow \eta_1 = \eta_2$$

Yukarıdaki bağıntılar kullanılarak 0.35m çapındaki pompaya ait karakteristikler;

| | | | | | | |
|-------------------------------|-------|--------|--------|---|---|---|
| $Q_2 \text{ (m}^3/\text{dk})$ | 0 | 4.641 | 9.282 | - | - | - |
| $H_2 \text{ (m)}$ | 73.24 | 74.339 | 73.927 | - | - | - |
| $\eta_2 \text{ (\%)}$ | 0 | 41 | 60 | - | - | - |

olarak elde edilir.

ÖRNEK 6.2. Tek kademeli bir radyal pompa $H_1 = 17\text{ m}$ manometrik yükseliğinde Q debisini sağlayacak şekilde tasarlanmıştır. Fakat pompa imal edildikten sonra yapılan deneylerde pompamın debisi Q olduğu zaman basma yükseliğinin $H_1' = 18.6 \text{ m}$ olduğu tespit edilmiştir. Pompamın devir sayısını değiştirilmemişine göre istenilen manometrik yükseliği elde etmek için pompamın gark çapının torna edilerek küçültülmesi planlanmaktadır. Gark çapı $D_1' = 343 \text{ mm}$ ne kadar torna edilmeli ki $H_1 = 17 \text{ m}$ manometrik yükseliğin sağlanır.

$$K_H = \frac{g \cdot H}{n^2 D^2} = \text{Sabit}$$

$$\frac{g H_1}{n^2 D_1^2} = \frac{g H_1'}{n^2 D_1'^2} \Rightarrow \frac{H_1}{H_1'} = \left(\frac{D_1}{D_1'} \right)^2 \Rightarrow \frac{17}{18.6} = \left(\frac{D_1}{343} \right)^2$$

$$D_1 = 327.91 \text{ mm} \approx 328 \text{ mm}$$

$$D_1' - D_1 = 343 - 328 = 15 \text{ mm} \text{ torna edilmelidir.}$$

6.4. Özgül Hız (Tip Sayısı)

Boyuut analizinden görüldüğü gibi her tip makina için farklı devir ve manometrik yükseliklere/düşüre bir çok deney yapılarak makinanın karakteristikleri elde edilebilir. Bu karakteristiklerden yararlanarak benzer makinanın özellikleri yukarıdaki örnekte görüldüğü gibi belirlenebilir. Fakat bu durum birçok verinin kullanılmasını gereklili kılar, karşılaştırmaları basitleştirmek amacıyla makmanın en verimli çalıştığı noktalardaki özelliklerden yararlanarak özgül hız (tip sayısı) tanımlanabilir.

a) Pompalar

Pompalarda aman, belirli bir hacimsel debide istenilen basma yükseltigini elde etmek istir. Bu düzunce ile K_Q ve K_H arasında uygun bir düzleme yapılıp yuvarlak adetek devir sayısı ile orantılı bir sayı elde edilebilir.

$$\left. \begin{array}{l} K_Q = \frac{Q}{n D^3} \\ K_H = \frac{gH}{n^2 D^2} \end{array} \right\} n_s = \frac{(K_Q)^{1/2}}{(K_H)^{3/4}} = \frac{Q^{1/2}}{n^{1/2} D^{3/2}} \cdot \frac{n^{3/2} \cdot D^{3/2}}{g^{3/4} \cdot H^{3/4}}$$

$$\Rightarrow n_s = \frac{n \sqrt{Q}}{(gH)^{3/4}} : \text{örgü hiz (tip sayisi)}$$

Literatürde örgü hızın farklı tanımlarına rastlamak mümkündür. Yayınlanan kılavuzlar içi tüm aşağıda verilmektedir.

| | Örgü Hiz Bağıntısı | Büyüklik Birimleri | Örgü Hizin Birimi |
|-------------------|--|---|-------------------|
| $\rightarrow n_q$ | $\frac{n \cdot Q^{1/2}}{H^{3/4}}$ | $n \text{ (d/dh)}$ $H \text{ (m)}$ $Q \text{ (m}^3/\text{s)}$ | d/dh |
| $\rightarrow n_s$ | $3.65 \times n_q$ | - | d/dh |
| $\rightarrow n_s$ | $\frac{n \cdot \sqrt{Q}}{(g \cdot H)^{3/4}}$ | $n [\omega] \text{ (rad/s)}$ $Q \text{ (m}^3/\text{s)}$ $g \text{ (m}^2/\text{s)}$ $H \text{ (m)}$ | - |

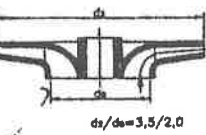
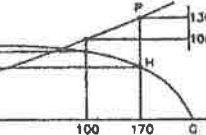
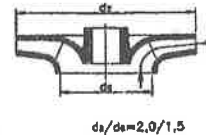
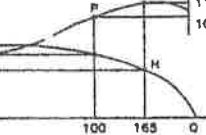
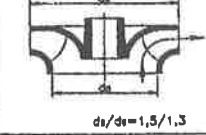
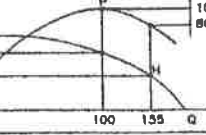
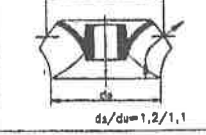
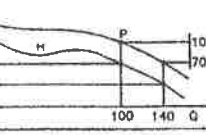
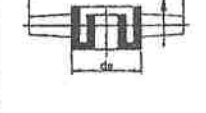
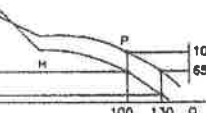
Örgü hız değerlerine bağlı olarak farklı tipleri Şekil 6.1'de verilmektedir. Örgü hız tabloları belirlenirken örgü hızın üretici firmadan nasıl tanımlandığını dikkat edilmelidir. Şekil 6.2'de ise temel dinamik pompa tipi için pompa örgü hızının fonksiyonu olarak maksimum verim değişimi görülmektedir.

b) Tübinler

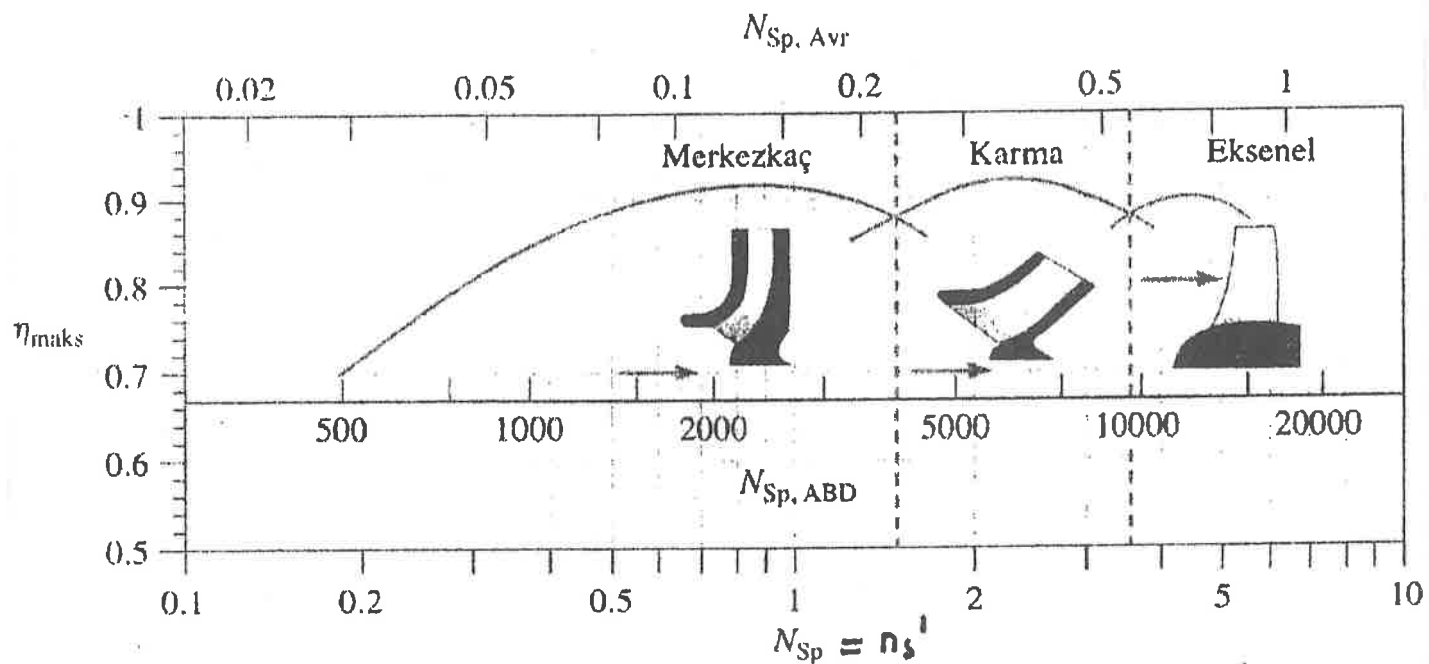
Tübinlerde belirli bir düzende mümkün olduğu kadar yüksek değerde basma elde etmek amacılıdır. Bu düzunceyle K_H ve K_P arasında D yok edilerek, örgü hızı;

$$n_s = \frac{(K_P)^{1/2}}{(K_H)^{5/4}}, \quad n_s = \frac{P^{1/2}}{g^{1/2} (g \cdot H)^{5/4}}$$

formunda elde edilir.

| ÇARK PROFİLİ | KARAKTERİSTİK | n_q (d/dak) | ÖRNEK POMPA |
|----------------|--|---|--|
| SANTİFÜL |  $d_s/d_a = 3,5/2,0$ |  | 10 - 30 NORM 40/200 KOT 80 |
| |  $d_s/d_a = 2,0/1,5$ |  | 30 - 50 NORM 125/250 CEP 400/400 |
| HELIKOSANTİFÜL |  $d_s/d_a = 1,5/1,3$ |  | 50 - 80 NORM 300/400 CEP 300/315 |
| KARŞIK AKIMLI |  $d_s/d_u = 1,2/1,1$ |  | 80 - 150 EKS-K 400 DAC-K 600 |
| EKSİNEL |  d_s/d_e |  | 135 - 120 EKS-E 1200 DAC-E 700 |

Şekil 6.1. Farklı çark profillerine ait özgül hızlar



Şekil 6.2. Üç temel dinamik pompa tipi için pompa özgül hızının fonksiyonu olarak maksimum verim